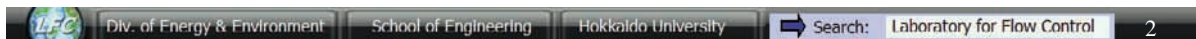


Particle Tracking Accelerometryによる PIVの粒子追従性問題からの解放



Release from tracer particle conditions
using Particle Tracking Accelerometry

村井祐一（北海道大学）

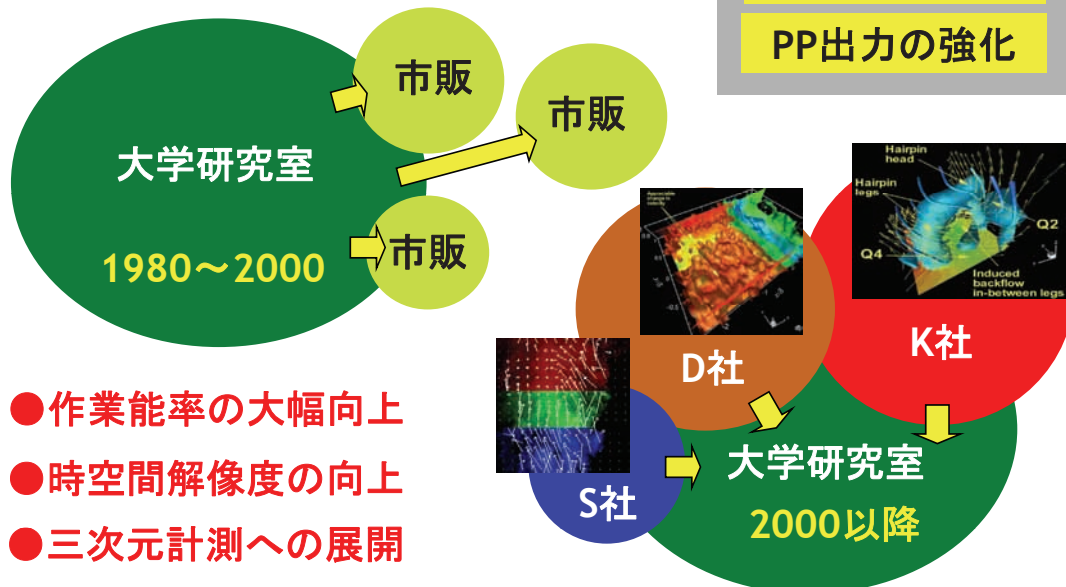


Commercialization

「PIVなら市販システムを買えば済む」

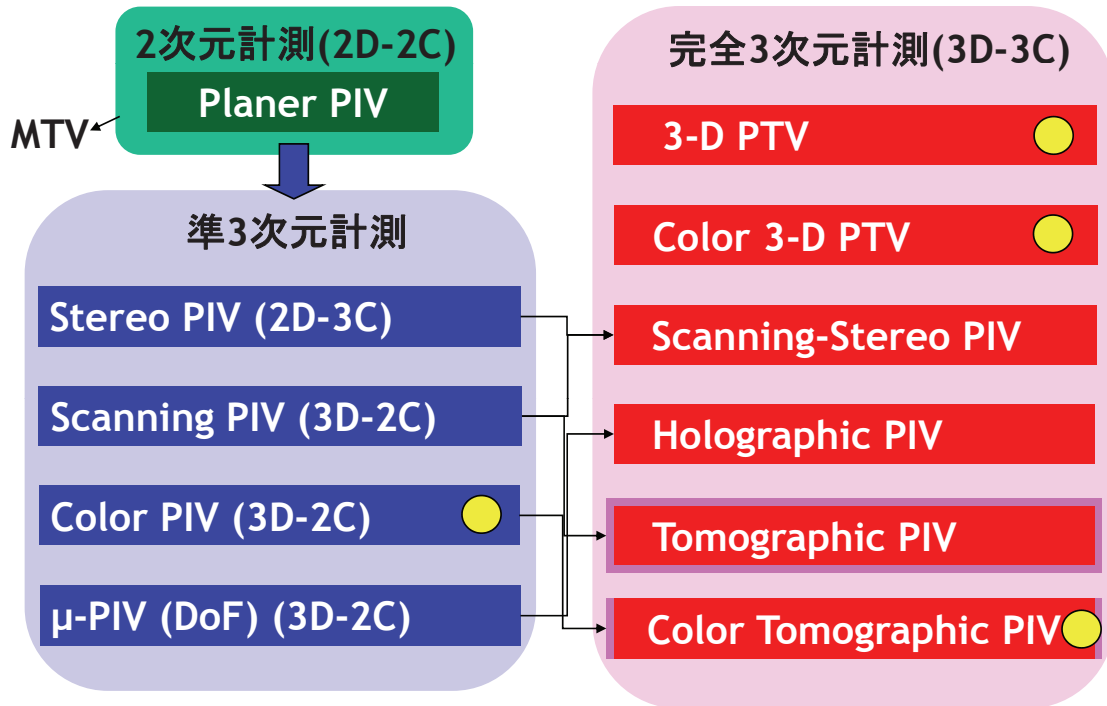
GUIの充実化

PP出力の強化



LFC Div. of Energy & Environment School of Engineering Hokkaido University Search: Laboratory for Flow Control 3

Planar to Volumetric PIV

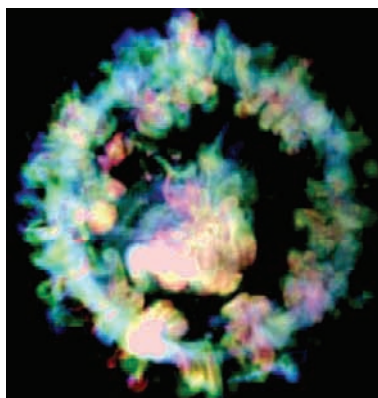


LFC Div. of Energy & Environment School of Engineering Hokkaido University Search: Laboratory for Flow Control 4

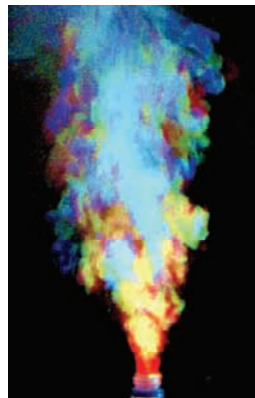
Color Tomographic PIV

Based on Computer Tomography

IWPT会議2009で発表



壁面衝突渦輪



浮力噴流



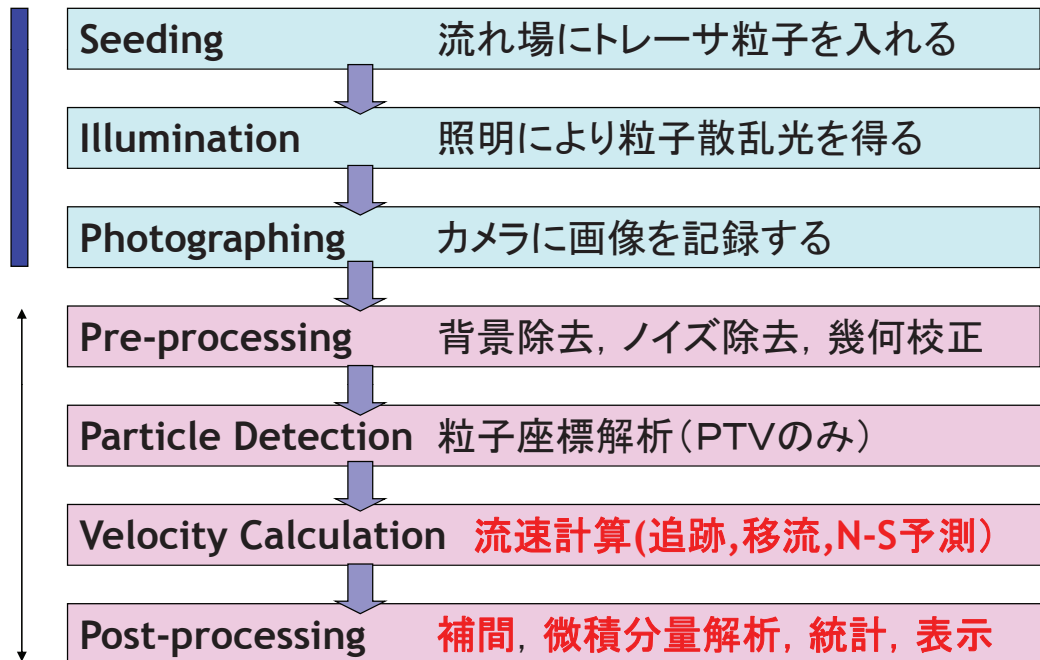
平板衝突ジェット

狙い＝ 色情報をPIVに最大限に有効活用する技術の探究

カメラ1つだけで三次元三成分の(気流の)速度ベクトル場を計測

Div. of Energy & Environment School of Engineering Hokkaido University Search: Laboratory for Flow Control 5

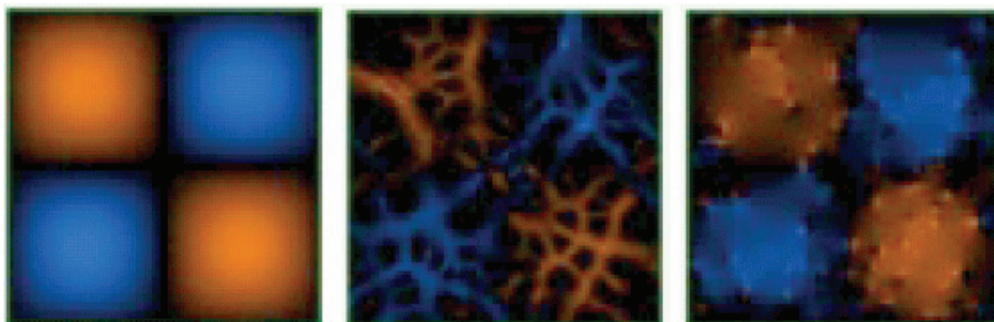
CFD Processes in PIV



Div. of Energy & Environment School of Engineering Hokkaido University Search: Laboratory for Flow Control 6

Vector Interpolation

Taylor-Green Vortex の渦度分布計測シミュレーション



真値 (正解)

ローカル補間
距離の逆数補間

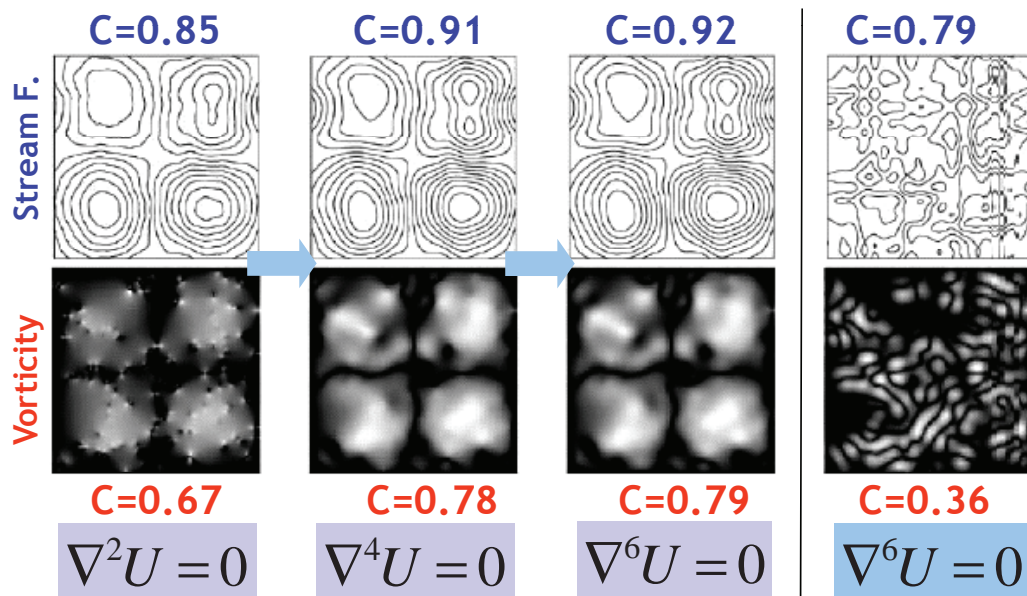
グローバル補間
ラプラス方程式

グローバル補間 = PTV情報を最大限に活かす

楕円型微分方程式 = 高次振動解を抑制する

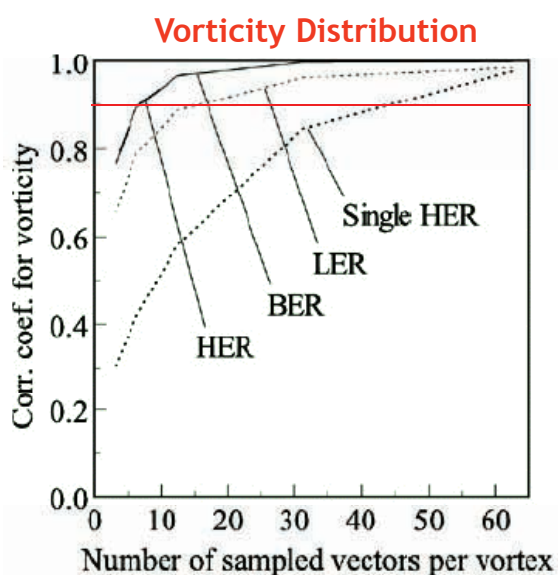
Recursive Interpolation

低次から高次へ階層的に補間すると最も復元精度が高くなる



Ido & Murai (2005) Flow Meas. Instr.

Number of Required Vectors



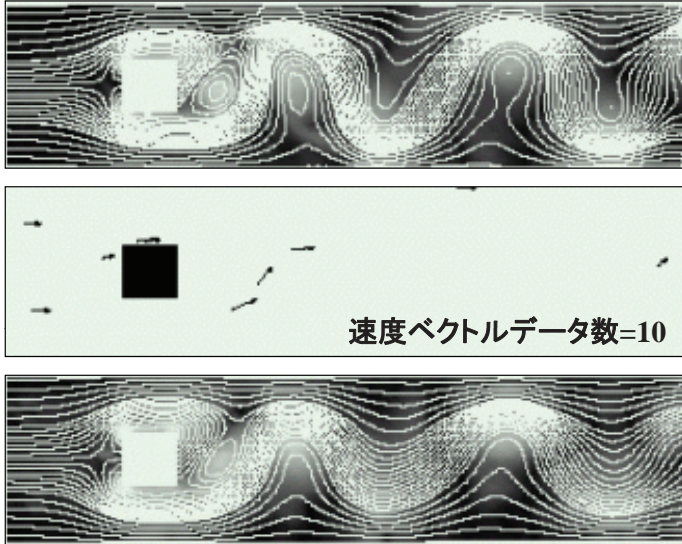
渦度を0.9以上の相関係数で補間(復元)するための渦1つあたりの速度ベクトル数

距離逆数	65
$\nabla^2 U = 0$	17
$\nabla^4 U = 0$	8
$\nabla^6 U = 0$	7

渦1つあたりPTVデータ

Karman Vortex Reconstruction

Re=500での角柱後流カルマン渦列



N-S数値解

抽出

PTVデータ

補間

補間結果

Murai et al(2002) JSME Int. J. Ser. B, Ido & Murai (2003) Exp Fluids

4-D Recursive Interpolation

ラプラス方程式

$$\nabla^2 U = 0$$

$$\nabla = \left(\frac{\partial}{\partial x}, \frac{\partial}{\partial y}, \frac{\partial}{\partial z}, \sigma \frac{\partial}{\partial t} \right)$$

$$\nabla^4 U = 0$$

$$\nabla^6 U = 0$$

$$\nabla^{2n} U = 0$$

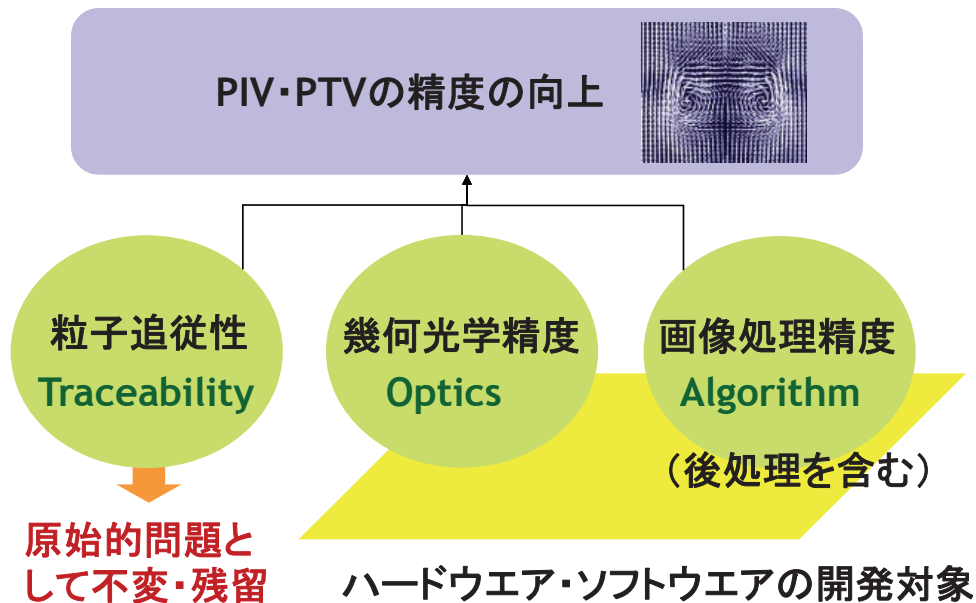
再帰型: 低次から高次への階層処理

- ①高い空間分解能
- ②収束解は唯一
- ③実験データ保護
- ④振動解なし

Ido & Murai (2005) Flow Meas. Instr.

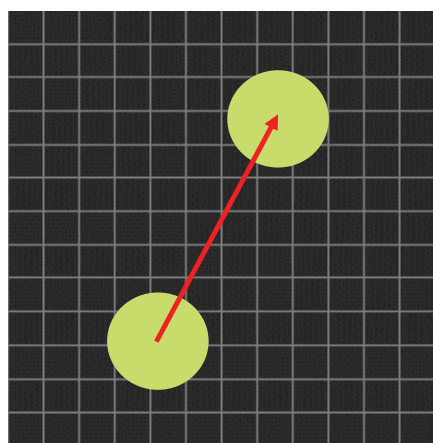
Div. of Energy & Environment School of Engineering Hokkaido University Search: Laboratory for Flow Control 11

Accuracy of PIV



Div. of Energy & Environment School of Engineering Hokkaido University Search: Laboratory for Flow Control 12

History of Precision



Pixel Space

瞬時局所速度ベクトル精度

90年代までのPIV

5 pixel/frame (3bit)

Sub-pixel 処理やPTV

5.8 pixel/frame (6bit)

再帰型やPTVハイブリッド

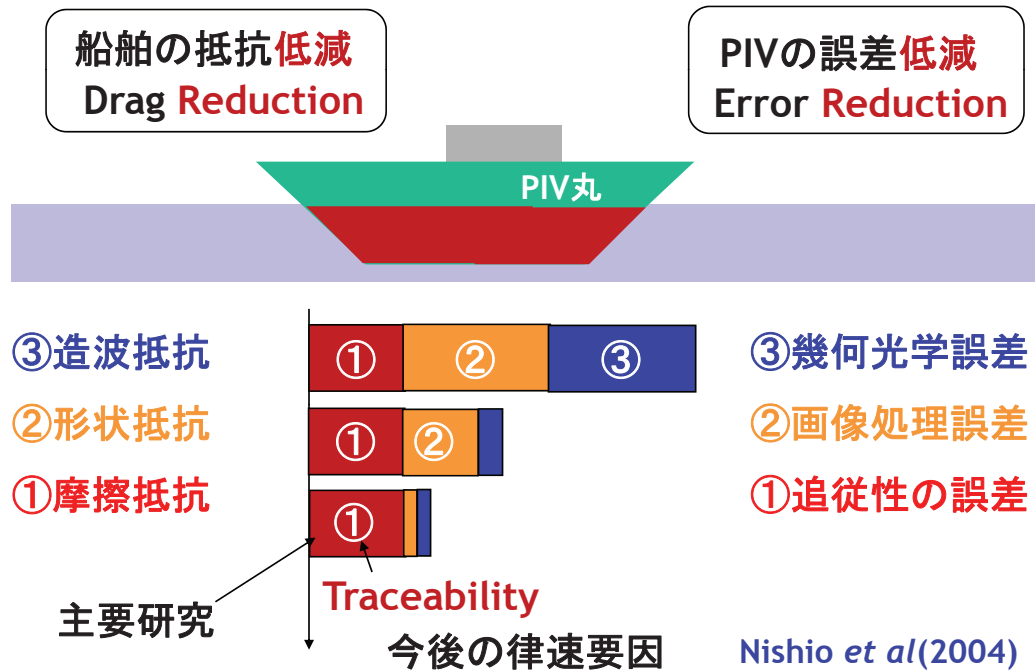
40.5 pixel/frame (7bit)

LDV～3桁(8bit), HW～4桁(14bit), UVP～3桁(8bit)

PIVが今後 8ビット以上の測定精度に向かうのか？

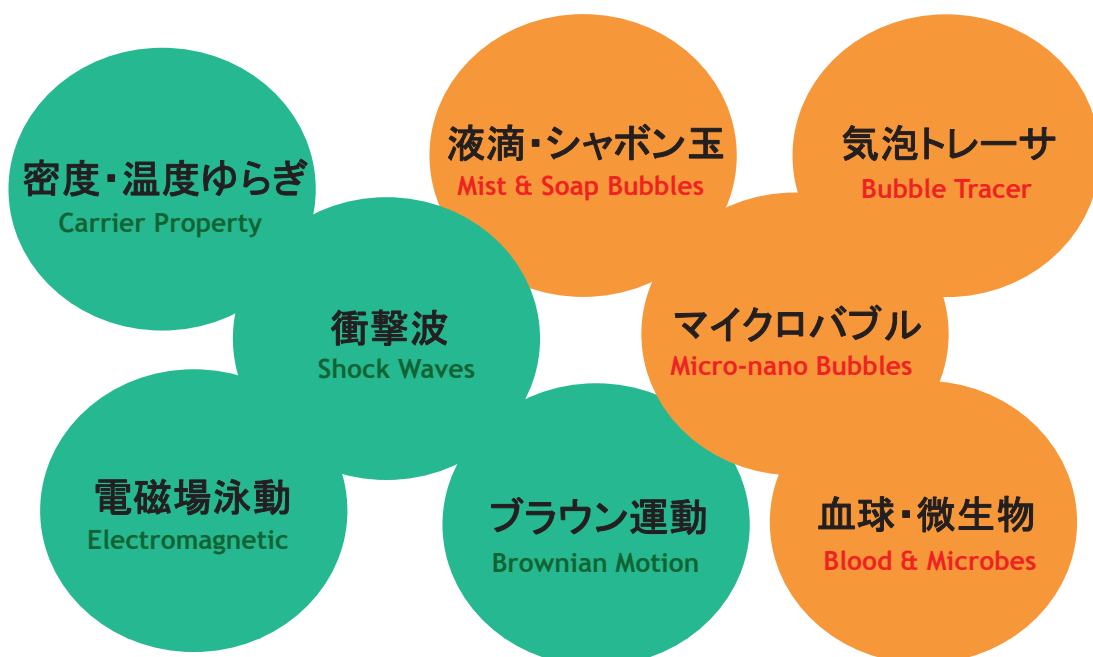
LFC Div. of Energy & Environment School of Engineering Hokkaido University Search: Laboratory for Flow Control 13

Invariable Traceability



LFC Div. of Energy & Environment School of Engineering Hokkaido University Search: Laboratory for Flow Control 14

Inevitable Slip Motion



ベクトルデータが大量に取得されて信じてしまっては駄目！

Div. of Energy & Environment School of Engineering Hokkaido University Search: Laboratory for Flow Control 15

Environmental Restriction

ラボ以外の実験環境(機械, 屋外)の殆どでは追従性を欠く
 「仮にこれを使っておこう」と言いながら後でふり返らない

異物混入に制約のある系
 では正確さに欠けるトレー
 サを使わざるを得ない.
 PIVの様々な応用場面で
 出くわす共通の問題.

「トレーサではなくセンサー」

科研基盤B(2007-2009)

屋外気流計測のトレーサ

科研基盤B(2009-2012)

マイクロバブル運動特性

NEDO(2005-2009)

超音波流量計のトレーサ

主目的: Slipの運動方程式を立てる → 逆解析で解く

Div. of Energy & Environment School of Engineering Hokkaido University Search: Laboratory for Flow Control 16

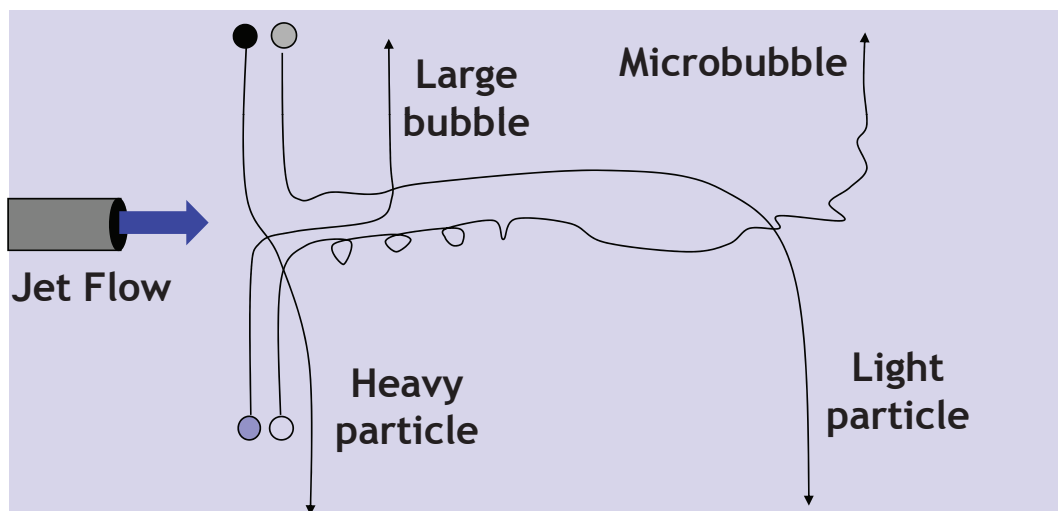
Particle as Sensor

流れが粒子運動を決める

$$\mathbf{u}_p = T(\mathbf{u})$$

粒子運動から流動場を求める

$$\mathbf{u} = T^{-1}(\mathbf{u}_p)$$



Div. of Energy & Environment School of Engineering Hokkaido University Search: Laboratory for Flow Control 17

Equation of Motion

$$\rho_p V_p \frac{d\mathbf{u}_p}{dt} = -C_D \frac{1}{2} \rho \pi R_p^2 |\mathbf{u}_p - \mathbf{u}| (\mathbf{u}_p - \mathbf{u}) - \rho_p V_p \mathbf{g} - V_p \nabla p$$

① Inertia

② Drag

③ Grav

④ P.G.

$$-C_L \rho V_p (\mathbf{u}_p - \mathbf{u}) \times (\nabla \times \mathbf{u}) + \int K(\tau, t) d\tau - \beta \rho V_p \left(\frac{d\mathbf{u}_p}{dt} - \frac{D\mathbf{u}}{Dt} \right)$$

⑤ Lift

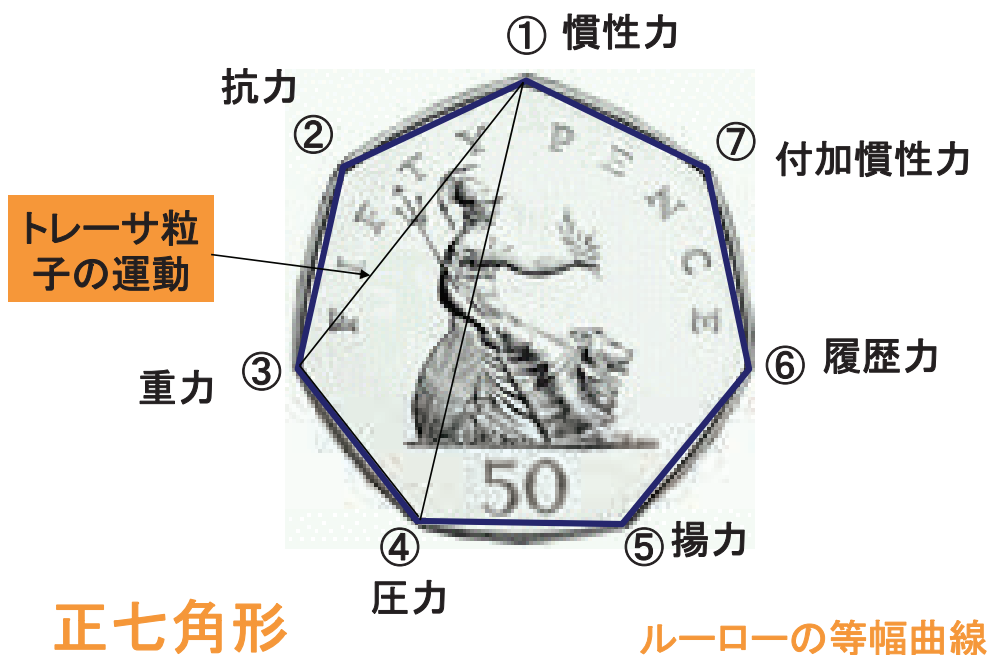
⑥ History

⑦ Added Inertia

トレーサ粒子	①	②	③	④	⑤	⑥	⑦
粒子	★	★	★		★	★	
気泡		★		★	★		★
液滴	★	★				★	★

Div. of Energy & Environment School of Engineering Hokkaido University Search: Laboratory for Flow Control 18

Seven Force Elements



Div. of Energy & Environment

School of Engineering

Hokkaido University

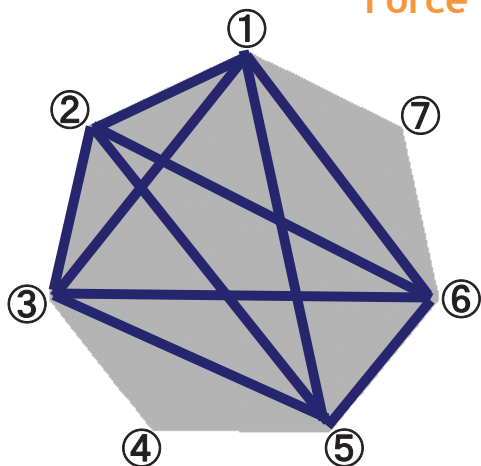
➡ Search:

Laboratory for Flow Control

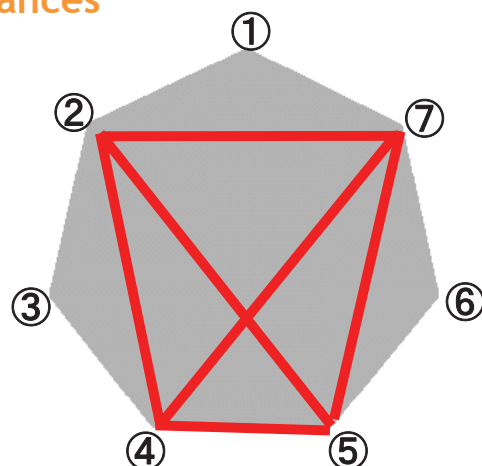
19

Combination in Seven

Force Balances



微粒子



気泡

構成要素が多いほど逆解析の確度は高くなる. 情報量が多くなり予想範囲を絞り込む効果をもつため.

Div. of Energy & Environment

School of Engineering

Hokkaido University

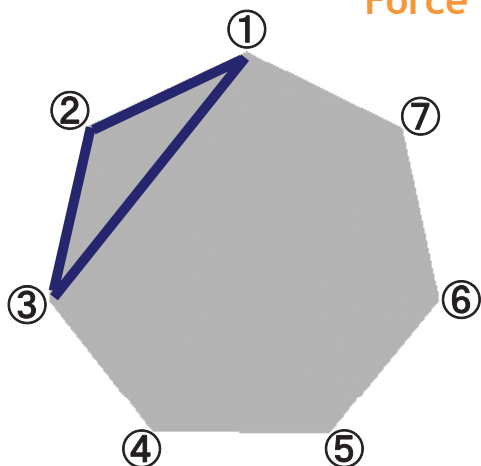
➡ Search:

Laboratory for Flow Control

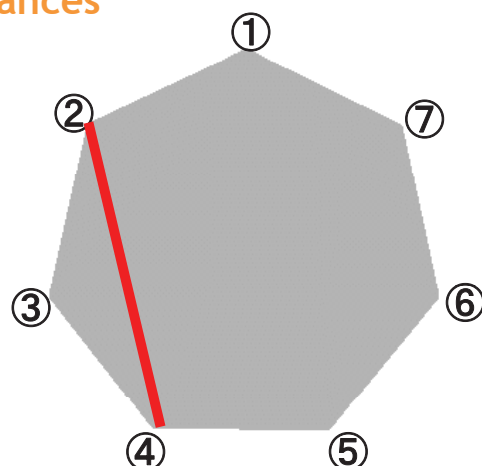
20

Undesired Conditions

Force Balances



大きな粒子

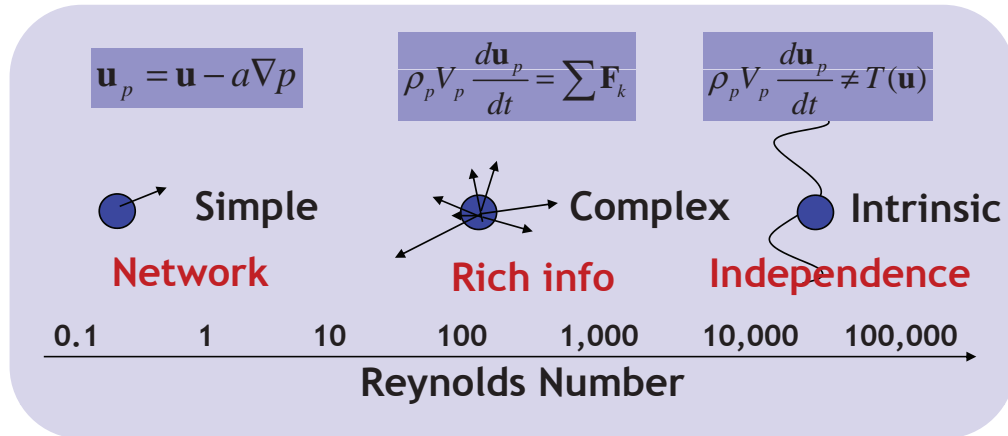


マイクロバブル

構成要素が少なくなると, 解を拘束することができなくなる. マイクロバブルの場合では流れに組織的な干渉を与えてしまう.

Div. of Energy & Environment School of Engineering Hokkaido University Search: Laboratory for Flow Control 21

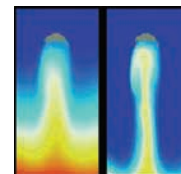
Organized Interaction



欧州のサッカー(組織力) \longleftrightarrow 南米のサッカー(個人技)

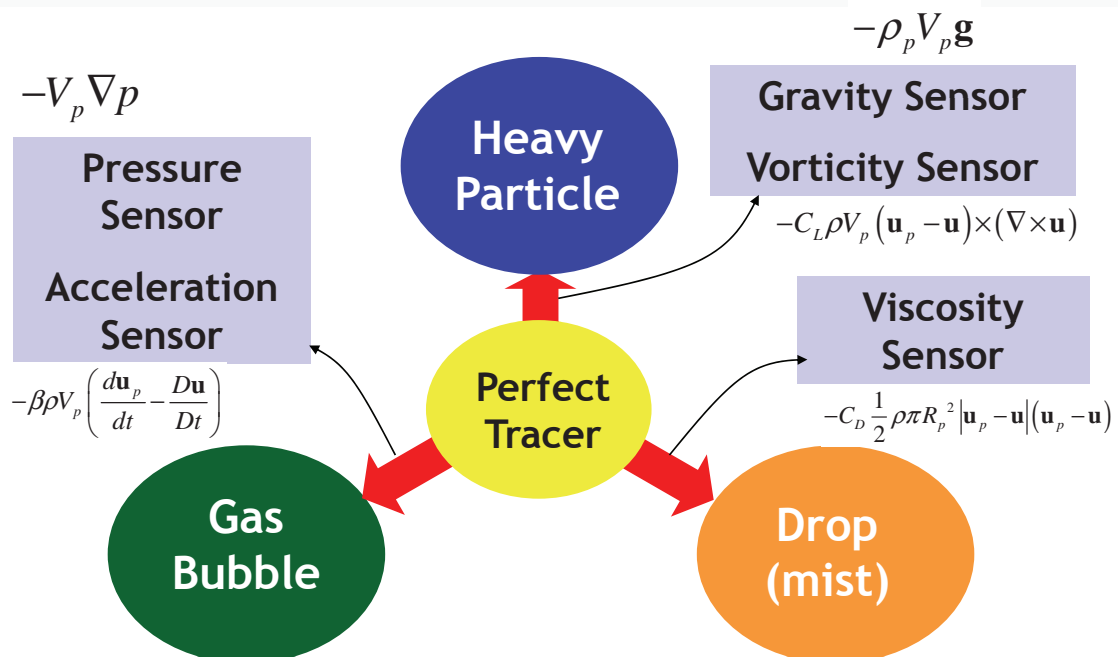


使えるのはこの範囲



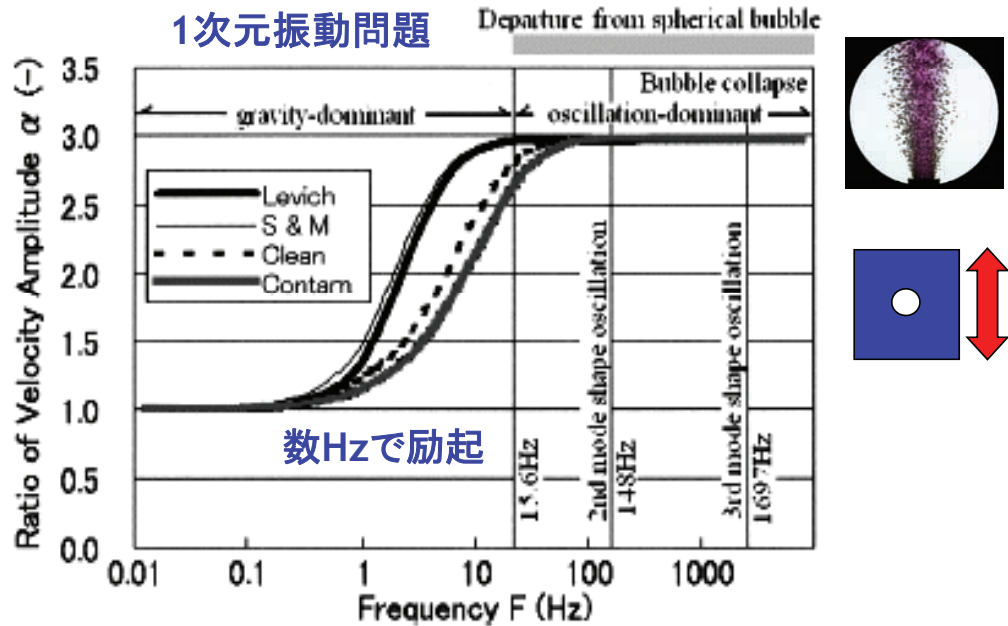
Div. of Energy & Environment School of Engineering Hokkaido University Search: Laboratory for Flow Control 22

Added Functions



逆転の発想: 完全なトレーサではその点の速度のみ

Bubble Slip Excitation



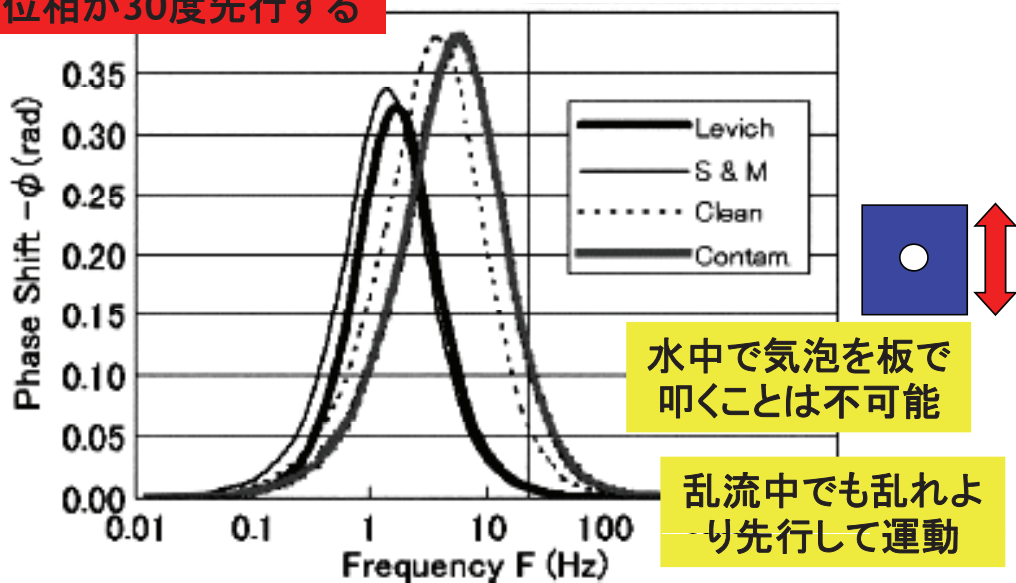
★乱れを3倍に拡大して観測することが出来る

Bubble Rapid Response

気泡は常に0.1s先の運動を見せる(人間は0.1s後の世界を見ている)

Cheng and Murai (2003)

位相が30度先行する



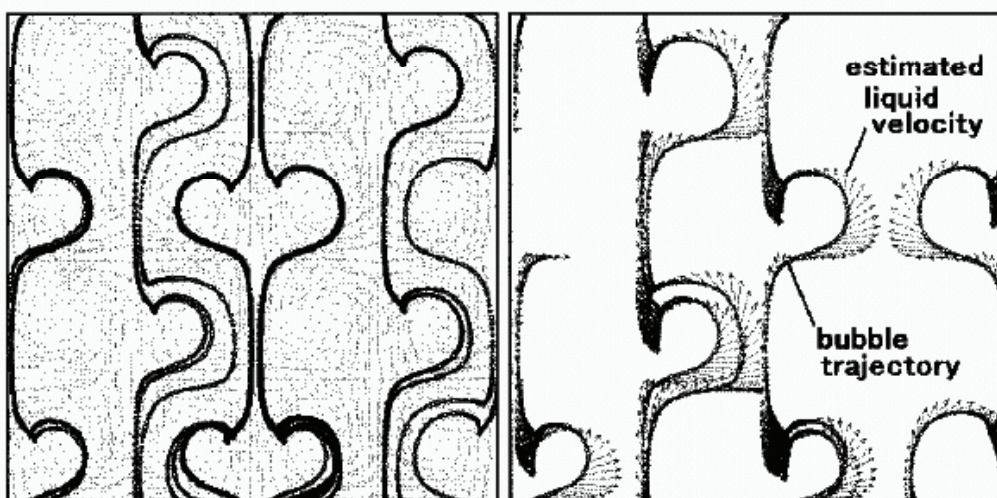
Formula of Carrier Velocity

$$\begin{aligned}
 (\gamma + \beta) \frac{d\mathbf{u}_g}{dt} &= (1 + \beta) \frac{d\mathbf{u}_l}{dt} + (1 - \gamma) \mathbf{g} \\
 &\quad - \frac{3C_D}{8r_g} |\mathbf{u}_g - \mathbf{u}_l| (\mathbf{u}_g - \mathbf{u}_l) \\
 &\quad - C_L (\mathbf{u}_g - \mathbf{u}_l) \times (\nabla \times \mathbf{u}_l)
 \end{aligned}$$

液相速度ベクトルを求める式

$$\begin{aligned}
 \mathbf{u}_l^n &= \frac{(1 + \beta) \mathbf{u}_l^{n-1} + \{a^{n-1} \mathbf{u}_g^n - (1 - \gamma) \mathbf{g} + \mathbf{S}^n\} \Delta t}{(1 + \beta) + a^{n-1} \Delta t} \\
 \mathbf{S}^n &= (\gamma + \beta) \frac{\mathbf{u}_g^n - \mathbf{u}_g^{n-1}}{\Delta t} + C_L (\mathbf{u}_g^{n-1} - \mathbf{u}_l^{n-1}) \times (\nabla \times \mathbf{u}_l^{n-1})
 \end{aligned}$$

Along Trajectory



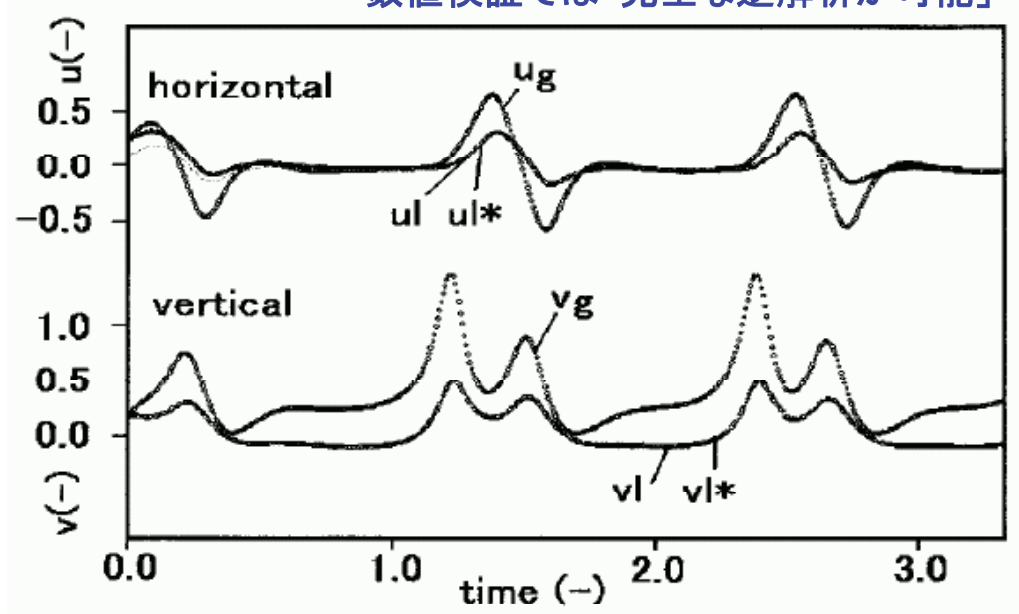
(a) Bubble trajectories

(b) Estimated liquid velocity

Taylor-Green 渦列のN-S方程式要素解による立証計算

Backward Slip Computation

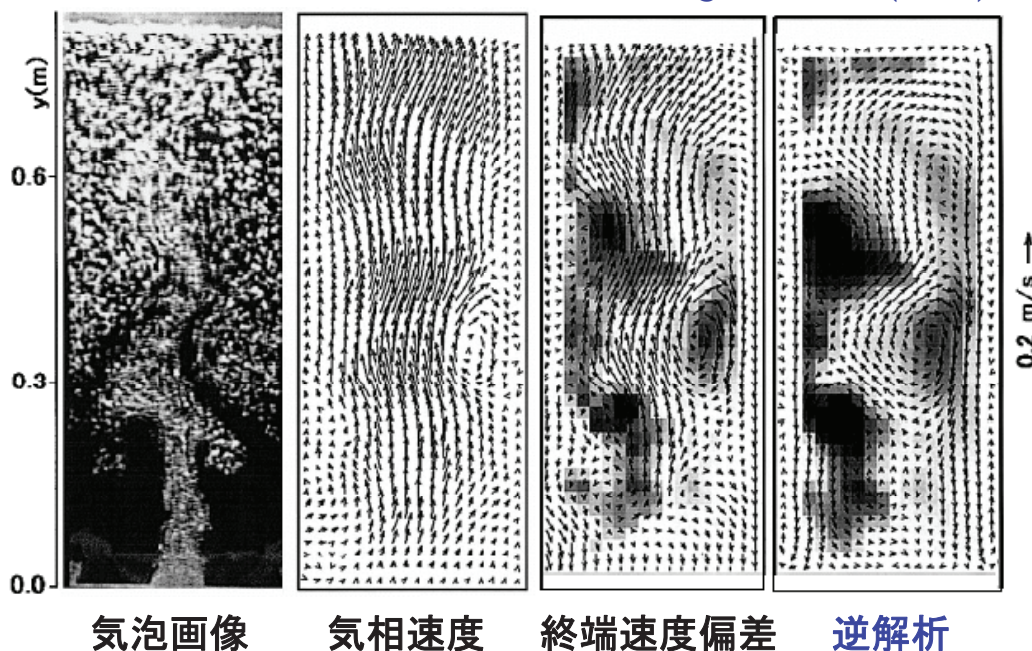
数値検証では「完全な逆解析が可能」



軌跡上の気泡速度から液相速度を求める制度

Application to Bubble Plume

Cheng and Murai (2005)



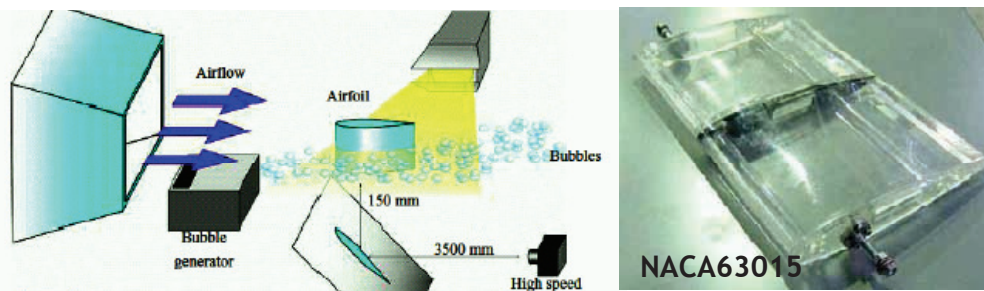
Div. of Energy & Environment School of Engineering Hokkaido University Search: Laboratory for Flow Control 29

Aero-PIV Project

科研「気流環境の時空間構造測定に向けたPIV開拓研究」

風洞以外での応用時に追従性が高く扱いやすい粒子がない

1. 流れの最短波長を表現するトレーサ濃度ゆらぎ
2. 環境ネガティブインパクトのないトレーサ物質
3. 流れにトレースしない準トレーサによるPTV逆解析 →今回

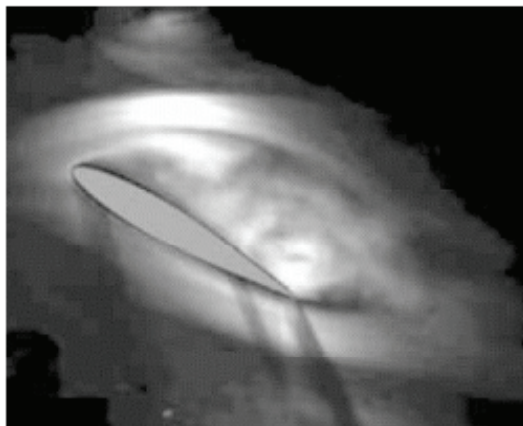


Div. of Energy & Environment School of Engineering Hokkaido University Search: Laboratory for Flow Control 30

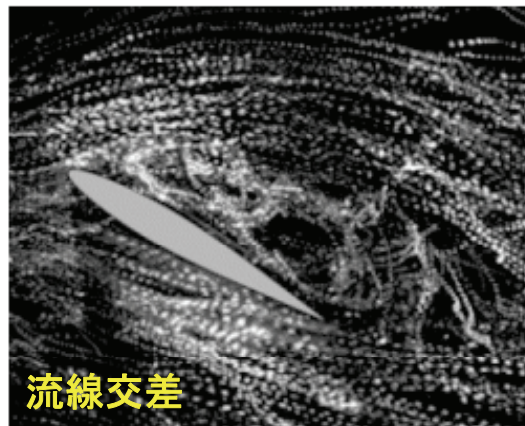
PIV for Airfoil

失速翼の実験

Kanda and Murai (2007)



Water Mist



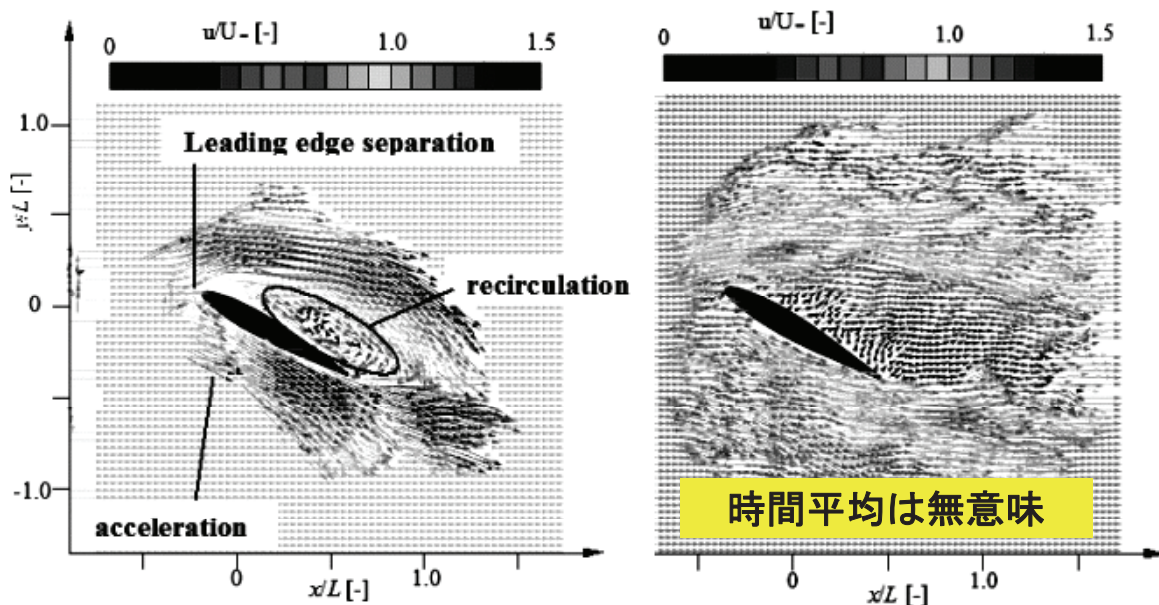
流線交差

Soap Bubbles

$$\rho_b = \frac{\rho_w (4\pi r_b^2 \delta) + \rho (4/3)\pi (r_b - \delta)^3}{(4/3)\pi r_b^3}$$

Div. of Energy & Environment School of Engineering Hokkaido University Search: Laboratory for Flow Control 31

Mist V.S. Soap Bubbles

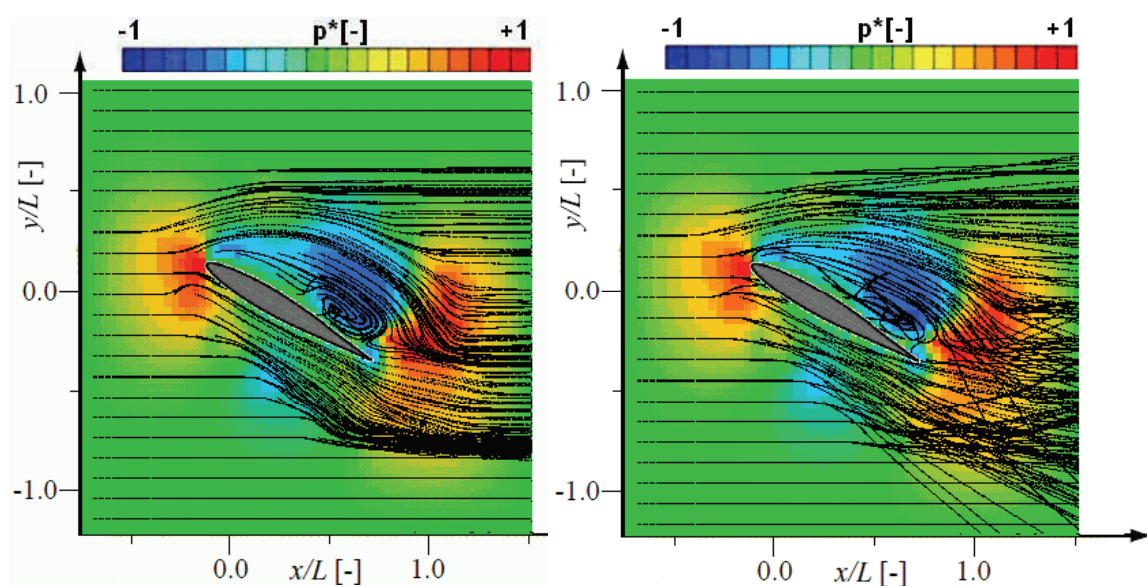


(a) Water mist image

(b) Soap bubble image

Div. of Energy & Environment School of Engineering Hokkaido University Search: Laboratory for Flow Control 32

Soap Bubble Trajectory



Density Ratio=1

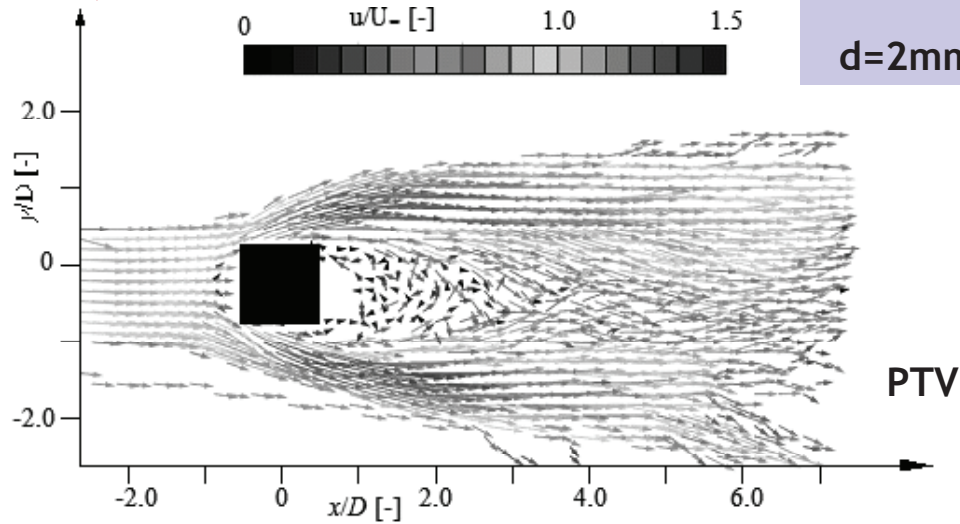
7mm / Density Ratio=7

流脈線が交差 → だからこそ加速度を経由した逆解析へ

Div. of Energy & Environment School of Engineering Hokkaido University Search: Laboratory for Flow Control 33

Soap in Karman Vortex

交差が頻発する

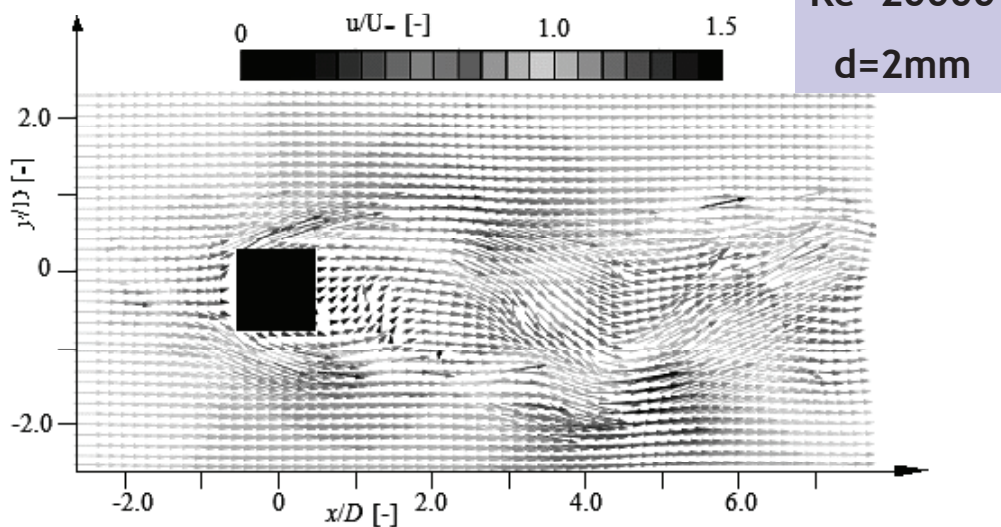


シャボン玉そのものの動きではカルマン渦が見えない

Div. of Energy & Environment School of Engineering Hokkaido University Search: Laboratory for Flow Control 34

Carrier Flow Field

加速度ベクトル場も交差している... 初期値問題



運動方程式を逆算することでカルマン渦が見えてきた

Div. of Energy & Environment

School of Engineering

Hokkaido University

Search: Laboratory for Flow Control

35

Summary

1. 追従性が不完全な粒子をトレーサとして用いた場合、PIVおよびPTVによる結果は真値に対して著しく変化する。しかしその並進運動方程式が確立していれば、**加速度ベクトル**と時空間補間操作を介して流体の非定常な速度ベクトル場を復元することができる。
2. マイクロバブルのように運動方程式を構成する力の要素の数が少ないと、情報量が有効活用されず復元精度が保証されにくくなる。またそのようなケースでは流体と粒子の運動量交換も**構造化**し、逆解析が不適となる。
3. 1mmオーダーの気泡やシャボン玉のように多数の要素が複合した運動方程式をもつほうが流体の速度ベクトルの推定においてより正確な**拘束条件**(解の唯一性)を与えることとなる。

Div. of Energy & Environment

School of Engineering

Hokkaido University

Search: Laboratory for Flow Control

36

Advantage of PTV

短所と見る場合

1. トレーサ粒子濃度を小さく抑えて重ならないように撮像しなければならない。
2. そのままでは流線や渦度が出ないので高度な後処理演算が必要。
3. 3時刻以上の追跡を可能とするように時間的連続性を保証する撮影が必要。

長所への読替え

1. 個々のトレーサ粒子の速度ベクトルを**高い精度で計測**。補間法次第でPIVの精度を超える。
2. 3時刻以上の追跡では常に**加速度ベクトル**も同時計測される。
3. 時間的連続性さえあれば流体に完全に追従する**トレーサである必要性から解放される**。